



طراحی کنترل کننده بهینه فازی سلسله مراتبی برای کنترل انرژی همیلتون سیستم لورنز آشوبگون تعمیم یافته

با جاذب‌های مخفی

گلاره امیری زاده^(۱) مهدی یعقوبی*^(۲) حمیدرضا کبروی^(۳)

(۱) گروه مهندسی برق، واحد مشهد، دانشگاه آزاد اسلامی، مشهد، ایران

(۲) گروه مهندسی برق، واحد مشهد، دانشگاه آزاد اسلامی، مشهد، ایران*

(۳) گروه مهندسی پزشکی، واحد مشهد، دانشگاه آزاد اسلامی، مشهد، ایران

تاریخ دریافت: ۱۴۰۱/۱/۲۲ تاریخ پذیرش: ۱۴۰۱/۴/۱۴

چکیده

در این مقاله یک کنترل کننده بهینه فازی سلسله مراتبی به منظور کنترل انرژی همیلتون برای سیستم لورنز آشوبگون تعمیم یافته با جاذب‌های مخفی پیشنهاد شده است. برای وادار کردن سیستم آشوبی تحت کنترل به ردگیری سطح مطلوب انرژی همیلتون، کنترل کننده فازی طراحی و با الگوریتم انبوه ذرات بهینه سازی شده است. در عمل، لازم است سیستم در هر موقعیت خاص، در یک سطح انرژی مطلوب قرار گیرد. رویکردهای کنترل فازی کنونی، به دلیل نیاز به تنظیم مجدد کنترل کننده، متناسب با هر سطح انرژی، بهینه نیستند. در این مقاله، یک طرح سلسله مراتبی جدید طرح ریزی شده است، که در آن، کنترل کننده فازی سطح پایین برای تعدادی از سطوح مورد نظر تنظیم شده و با در نظر گرفتن سطح انرژی مطلوب، یک سیستم فازی سطح بالاتر برای تنظیم بهینه پارامترهای کنترل کننده فازی طراحی شده است. جهت بررسی عملکرد، طرح کنترل بهینه فازی سلسله مراتبی پیشنهادی، روی سیستم لورنز آشوبگون تعمیم یافته اعمال می شود. نتایج شبیه سازی های صورت گرفته، کارایی روش پیشنهادی را نمایش داده است.

کلمات کلیدی: انرژی همیلتون، کنترل کننده فازی سلسله مراتبی، سیستم آشوبگون لورنز تعمیم یافته، جاذب‌های مخفی

*عهده دار مکاتبات:

مهدی یعقوبی

نشانی: گروه مهندسی برق، واحد مشهد، دانشگاه آزاد اسلامی، مشهد، ایران

پست الکترونیکی: yaghoobi@mshdiau.ac.ir

کنترل آشوب به آشوب از مباحث مورد توجه پژوهشگران بوده است. در طول چند سال گذشته، چندین راهکار کنترلی برای کنترل آشوب پیشنهاد شده است، اما توسعه یک راهکار کنترلی که قادر به تبدیل آشوب به آشوب باشد، هم چنان چالش برانگیز است. در این مقاله، ما یک راهکار کنترلی پیشنهاد می‌کنیم که مبتنی بر ترکیب پس‌خورد انرژی همپلتون^۱ و فازی سلسله مراتبی، برای تبدیل دینامیک آشوب نامطلوب به دینامیک آشوب مطلوب است. ثابت شده است که احتمال تبدیل یک دینامیک آشوب به دینامیک آشوب دیگر به وسیله تنظیم آنلاین بهره پس‌خورد انرژی وجود دارد [1]. کنترل آشوب به آشوب^۲ در بسیاری از کاربردهای عملی مهم است؛ به عنوان مثال، در مورد کنترل سیستم‌های بیولوژیکی [4]، که در آن حالت‌های سیستم برخی دوشاخگی‌ها را بر اثر تشنج‌های صرعی تجربه می‌کنند [6]، [5]. علاوه بر این، تشنج‌های صرعی موجب برخی تغییرات در حوزه جذب پیام الکتروانسفالوگرافی^۳ (EEG) می‌شوند [7]. از یک سو، اهرابی و کبروی^۴ مدعی شدند که با مطلوب کردن دینامیک آشوبگون سیستم، چنین بیماری‌هایی قابل معالجه خواهند بود [1]؛ از سوی دیگر، از آن جا که تغییرات در حوزه جذب در فضای حالت را می‌توان با تابع انرژی همپلتون نشان داد، استراتژی‌های کنترل پس‌خورد که مبتنی بر انرژی سیستم هستند، می‌توانند در کنترل آشوب به آشوب استفاده شوند.

برای اینکه دینامیک یک سیستم آشوب دارای رفتاری مطلوب باشد، باید آن را دچار آشفتگی هدفمند کرد. ورودی اغتشاش خارجی که در این موارد «سیگنال کنترل» نامیده می‌شود، باید به طور دقیق محاسبه شود. بسیاری از محققان بعد از روش معروف آجی وای^۵ [8]، که یک تکنیک گسسته است که اغتشاشات کوچک را در مجاورت مدار مورد نظر، هنگامی که مسیر از یک سطح خاص مانند یک مقطع پوانکاره عبور می‌کند، در نظر می‌گیرند [9]؛ طرح‌های کنترلی‌ای برای دینامیک‌های آشوب معرفی کرده‌اند. بسیاری از روش‌های موثر برای کنترل آشوب توسعه یافته‌اند (به عنوان مثال، [10]، [19]–[12]، [20]–[24]، [11]) با این حال، دینامیک‌های آشوب اغلب پیچیده بوده و یافتن کنترل‌کننده مناسب برای آن‌ها کاری دشوار است. سال‌هاست که سیستم‌های فازی به عنوان کنترل‌کننده بدون مدل استاندارد، در کنترل سیستم‌های دینامیکی آشوبگون به کار می‌روند [25]. در سال‌های اخیر، محققین روش‌های جدید بسیاری را به منظور به‌کارگیری طرح‌های فازی در کنترل آشوب از مطالعات اولیه [27]–[25] گرفته تا ترکیبات منطقی فازی با کنترل‌کننده‌های سنتی [28] و مدل‌سازی مبتنی بر مدل فازی تاکاگی سوگنو کانگ^۶ سیستم‌های آشوبی [33]–[29] هم چنین طرح‌های کنترل فازی ابداعی [34] معرفی کرده‌اند.

1 Hamilton

2 Chaos to Chaos Control

3 Electroencephalography

4 Ahrabi and Kobravi

5 Ott Grebogi Yorke (OGY)

6 Takagi-Sugeno-Kang

با این حال، کنترل‌کننده‌های فازی چندین پارامتر تنظیمی - بایستی از پیش تعریف شده باشد - دارند که در برخی موارد تعیین آن‌ها آسان نیست. به همین دلیل، محققان برای تنظیم پارامترها، الگوریتم‌هایی را بر مبنای بهینه‌سازی تکاملی پیشنهاد داده‌اند. به عنوان مثال کنترل سیستم استنتاج فازی برنامه‌ریزی ژنتیکی¹ (GPFIS) معرفی شده، که از الگوریتم ژنتیک برای بهینه‌سازی پارامترها بهره گرفته است [35], [36].

پژوهش‌گر برای ارتقا در بحث کنترل جاذب به دنبال شاخصی بود که آن شاخص کمی بتواند الگوی جاذب را توصیف کند و بدین جهت، انرژی همیلتون به عنوان کاندیدا معرفی شده است. تابع انرژی همیلتون² (HEF) که آن را «سیستم همیلتونی» نیز می‌نامند، شکلی از تغییرات دینامیکی انرژی سیستم در طول زمان است [1]. از آنجا که بررسی تحلیلی انرژی سیستم‌های دینامیکی، حوزه تحقیقاتی گسترده‌ای است، تابع انرژی همیلتون توانسته توجه محققان بسیاری را به خود جلب کند [2], [3]. یکی از کاربردهای مهم تحلیل انرژی همیلتونی کنترل آشوب است، که طی آن می‌توان رفتارهای آشوبناک را به کمک پس‌خورد منفی مبتنی بر انرژی همیلتونی کنترل نموده و کاهش داد [2].

در این پژوهش، یک کاربرد کارا از یک ساختار فازی سلسله مراتبی³ مبتنی بر الگوریتم انبوه ذرات⁴، برای کنترل آشوب بر پایه پس‌خورد انرژی همیلتون، ارائه شده است. یکی از مزیت‌های متمایز کنترل‌کننده بهینه پیشنهادی، توانایی استفاده از الگوریتم بهینه‌سازی مبتنی بر جمعیت، در حالت آفلاین و تنها برای چند مورد محدود است. کنترل آشوب در این مورد با کمک ساختار سلسله مراتبی ممکن شده است؛ که در آن هم‌زمان با اجرای آنالین یک سیستم فازی مرتبه بالاتر، پارامترهای کنترل‌کننده فازی مرتبه پایین را نیز تعیین می‌کند. مهم‌ترین دستاوردهای این پژوهش را می‌توان به صورت زیر خلاصه کرد: ۱- استفاده از بهینه‌سازی آفلاین در کنترل سیستم‌های دینامیکی آشوبی نامشخص؛ ۲- معرفی ساختار فازی سلسله مراتبی براساس پارامترهای به دست آمده از الگوریتم بهینه‌سازی انبوه ذرات؛ ۳- ساده‌سازی ساختار کنترل‌کننده با در نظر گرفتن ملاحظات عملی و با این فرض که سطح انرژی همیلتون مطلوب در کوتاه مدت تقریباً ثابت است؛ و ۴- تجزیه و تحلیل سطح انرژی همیلتونی در سیستم حلقه بسته.

در بخش بعدی، سیستم لورنز آشوبگون تعمیم یافته، که به عنوان مطالعه موردی در این مقاله در نظر گرفته شده است، به تفصیل معرفی می‌شود. در بخش سوم، انرژی همیلتون سیستم معرفی و محاسبه می‌شود. در ادامه در بخش چهارم، ساختار کنترل‌کننده انرژی همیلتون پیشنهاد و بررسی می‌شود. سپس در بخش پنجم، ساختار پیشنهادی کنترل‌کننده فازی سلسله مراتبی معرفی و تشریح می‌شود. بخش ششم، به بررسی شبیه‌سازی‌های انجام شده، اختصاص دارد. و به طور اخص در بخش هفتم، به بررسی سطح انرژی

1 Genetic Programming Fuzzy Inference System

2 Hamilton Energy Function

3 Hierarchical Fuzzy Controller

4 Particle Swarm Algorithm

همپلتون سیستم آشوبگون کنترل شده حلقه بسته می پردازیم و در نهایت، در بخش هشتم، به بیان نتایج پژوهش حاضر پرداخته شد. توضیح این که مشتق سیگنال های کنترل کننده در پیوست الف به صورت فرمول ارائه شد.

۲. سیستم لورنز آشوبگون تعمیم یافته (GCLS):

معادلات دینامیکی سیستم لورنز آشوبگون تعمیم یافته^۱ (GCLS) کلی [37] را، که مشتقی است از سیستم رابینوویچ^۲ [38]،

می توان به صورت زیر نوشت:

$$\begin{cases} \dot{x} = -a(x - y) - byz \\ \dot{y} = cx - y - xz \\ \dot{z} = -dz + xy \end{cases} \quad (1)$$

که در این معادله x, y, z و متغیرهای حالت هستند، و a, b, c, d پارامترهای ثابت در سیستم هستند. سیستم دینامیکی آشوبگون فوق، دارای یک جاذب مخفی در حالت اولیه اش است [37]. در نتیجه، عملکرد سیستم لورنز آشوبگون تعمیم یافته، با توجه به پارامترهایش و مقادیر اولیه متغیرهای حالت متفاوت خواهد بود. برای رسیدن به ویژگی های آشوب، در این جا فرض بر این است که سیستم مبتنی بر معادله (۱) سیستمی اتلافی بوده و همان طور که در زیر نشان داده شده، مستلزم این است که $-\alpha - 1 - d < 0$ باشد [37]:

$$\nabla V = \frac{\partial \dot{x}}{\partial x} + \frac{\partial \dot{y}}{\partial y} + \frac{\partial \dot{z}}{\partial z} = -\alpha - 1 - d \quad (2)$$

۳. انرژی همپلتون سیستم لورنز آشوبگون تعمیم یافته:

به منظور یافتن تابع انرژی همپلتون در سیستم لورنز آشوبگون تعمیم یافته، سیستم دینامیکی مستقل با معادله (۱) را می توان به صورت زیر در نظر گرفت:

$$\dot{X} = f(X) \quad (3)$$

که در آن، $X \in \mathbb{R}^n$ بردار حالت است، n بُعد فضایی حالت و $F(X)$ یک معادله ریاضیاتی نرم است. در نتیجه، با توجه به فضا بنیادین محاسبه برداری، مدل هلمهولتز^۳ سیستم با معادله (۳) با معادله (۴) قابل بیان خواهد بود، [39], [3]. این مدل نمایش سیستم، در حقیقت سیستم اولیه را به یک میدان برداری پایستار $f_c(x)$ ، و یک میدان برداری اتلافی $f_d(x)$ تجزیه می کند [41], [40].

¹ Generalized Chaotic Lorenz System

² Rabinovich

³ Helmholtz

$$f(X) = f_c(X) + f_d(X) \quad (4)$$

در حوزه مسائل انرژی، با توجه به قضیه لیوویل^۱، تابع انرژی همیلتون را، که معادل است با $H(x, y, z)$ ، می‌توان برای سیستم با معادله (۱) به شکل تجزیه با معادله (۴) و با در نظر گرفتن معادلات زیر محاسبه کرد [2]:

$$\begin{cases} \nabla H^T f_c(X) = 0 \\ \dot{H} = \nabla H^T f_d(X) \end{cases} \quad (5)$$

که در آن، $f_c(x)$ و $f_d(x)$ برای سیستم با معادله (۱)، از طریق معادله زیر به دست می‌آیند:

$$f_c(X) = \begin{pmatrix} ay - byz \\ cx - xz \\ xy \end{pmatrix}, f_d(X) = \begin{pmatrix} -ax \\ -y \\ -dz \end{pmatrix} \quad (6)$$

با توجه به معادله‌های (۵) و (۶) داریم:

$$(ay - byz) \frac{\partial H}{\partial x} + (cx - xz) \frac{\partial H}{\partial y} + xy \frac{\partial H}{\partial z} = 0 \quad (7)$$

$$(-ax) \frac{\partial H}{\partial x} + (-y) \frac{\partial H}{\partial y} + (-dz) \frac{\partial H}{\partial z} = \dot{H} \quad (8)$$

از آنجا که، $\dot{H} = \frac{\partial H}{\partial x} \dot{x} + \frac{\partial H}{\partial y} \dot{y} + \frac{\partial H}{\partial z} \dot{z}$ است، با حل معادله (۷) و (۸)، می‌توانیم تابع انرژی همیلتون و مشتق مرتبه اول آن را به روش‌های زیر بدست آوریم:

$$H = \frac{1}{2} \left[x^2 - \frac{a}{c} y^2 + \left(b - \frac{a}{c} \right) z^2 \right] \quad (9)$$

$$\dot{H} = -ax^2 + \frac{a}{c} y^2 - d \left(b - \frac{a}{c} \right) z^2 = \nabla H^T f_d(X) \quad (10)$$

۴. کنترل انرژی همیلتون سیستم لورنز آشوبگون:

سیستم‌های دینامیکی آشوبگون خاصی وجود دارند که دارای جاذب‌های پنهان هستند. در این نوع از سیستم‌های آشوبگون، نقاط تعادل در محدوده وسیعی، به جز نقاط بی‌نهایت، قابل انتخاب هستند. سیستم‌های بیولوژیکی، شیمیایی و فیزیکی ممکن است

¹ Liouville's theorem

رفتارهای آشوبگونی را نشان دهند که می تواند ویژگی های دینامیکی پیچیده ای را در این سیستم ها بوجود آورند. انرژی مهم ترین مسئله برای نوسانات مداوم در هر سیستم دینامیکی است. یک راه جدید برای کنترل نوسانات متناوب آشوبگون در سیستم دینامیکی از طریق پس خورد انرژی ایجاد شده است. این روش های کنترل پس خورد انرژی می توانند برای کنترل سیستم های آشوبگون و آشوبگون-پیچیده^۱ قابل اجرا باشد.

روش پیشنهادی، کنترل مبتنی بر انرژی، بر این واقعیت استوار است که کنترل انرژی می تواند روشی مؤثر برای کنترل رفتارهای آشوبگون و نوسانی باشد. تابع انرژی همپلتون روشی محکم برای نشان دادن رابطه فضای حالت با انرژی سیستم است. به عنوان مثال، سوختن و نوسان، باعث کاهش انرژی همپلتون می شود. علاوه بر این، هر چه تعداد طومار جاذب ها^۲ بیشتر باشد، انرژی همپلتون کمتر است.

بنابراین، کنترل انرژی همپلتون به کمک کنترل کننده پس خورد می تواند فضای فاز را تقویت و در نتیجه سیستم آشوبگون را کنترل کند [2], [1]. در مرجع [1]، پتانسیل کنترل کننده های فازی برای ایجاد تغییرات در رفتار دینامیکی سیستم های آشوبگون نشان داده شده است. با این حال، هنوز سوال «چگونه کنترل کننده را تنظیم کنیم؟» بی پاسخ مانده است.

هدف اصلی این پژوهش توسعه (طراحی) یک کنترل کننده فازی سلسله مراتبی مبتنی بر انرژی همپلتون برای سیستم های آشوبگون است. چالش اصلی، ارائه یک راهبرد برای تنظیم پارامترهای فازی است، به طوری که انرژی همپلتون سیستم، یک مقدار مرجع را که به عنوان سطح انرژی همپلتون مطلوب^۳ (DHEL) نامیده می شود، ردگیری کند. در این جا، راهبرد بهینه سازی و تنظیم کنترل کننده فازی بر اساس بهینه سازی آفلاین (به کمک الگوریتم بهینه سازی انبوه ذرات) و سپس طراحی تنظیم کننده سلسله مراتبی آنلاین پیشنهاد شده است. علاوه بر این، در مرجع [1]، ردیابی سطح انرژی مطلوب در نظر گرفته نشده است. در این پژوهش، ردگیری سطح مطلوب، با تعریف تابع هزینه بر اساس خطای ردیابی و به حداقل رساندن آن در هنگام بهینه سازی، مورد توجه قرار گرفته است. کنترل کننده پیشنهادی می تواند در سیستم های عملی در کنترل آشوب و آشوب-پیچیده بسیار مفید باشد.

فرض ۱:

با توجه به ملاحظات عملی، انرژی همپلتون مورد نیاز معمولاً تغییر چندانی نمی کند. در نتیجه، مسیر مرجع در این مطالعه، به صورت سطوح متوالی ایجاد می شود، که سطح انرژی مورد نیاز را نشان می دهند. برای اینکه سیستم لورنز آشوبگون تعمیم یافته را به ردگیری این مسیر مطلوب مجبور کنیم، سیگنال کنترل، $u(t)$ ، به صورت زیر به سیستم اعمال می شود.

$$\begin{cases} \dot{x} = -a(x - y) - byz + u \\ \dot{y} = cx - y - xz \\ \dot{z} = -dz + xy \end{cases} \quad (11)$$

سیگنال کنترل از طریق یک کنترل‌کننده فازی سلسله مراتبی ایجاد می‌شود که در ادامه توضیح بیشتری در مورد آن داده شده‌است.

۵. کنترل‌کننده فازی سلسله مراتبی

در این بخش، طرح پیشنهادی را توضیح می‌دهیم. در ابتدا، یک کنترل‌کننده فازی برای کنترل نقطه تنظیم طراحی و فرمول آن تشریح شده‌است. در ادامه، پارامترهای کنترل‌کننده تعریف و با استفاده از الگوریتم انبوه ذرات بهینه‌سازی می‌شوند. این کار برای مقادیر مختلف سطوح انرژی مطلوب تکرار شده و پارامترهای بهینه به دست آمده ذخیره می‌شوند. در نهایت، یک طرح فازی سلسله مراتبی پیشنهاد شده‌است، که در آن، سیستم فازی سطح بالا، پارامترهای کنترل‌کننده فازی سطح پایین را با توجه به سطح انرژی مورد نظر و پارامترهای بهینه به دست آمده در مرحله قبل، تنظیم می‌کند.

۱.۵. طراحی کنترل‌کننده فازی سطح پایین:

در این جا، از یک کنترل‌کننده فازی برای تعیین سیگنال کنترل استفاده می‌شود.

نکته ۱: حداقل یک سیگنال کنترل ایده‌آل حقیقی و محدود، U^* ، وجود دارد، که با اعمال آن به سیستم لورنز آشوبگون تعمیم یافته، این سیستم به سطح انرژی مطلوب میل کند.

فرض ۲:

با توجه به اینکه سیستم استنتاج فازی یک تقریب‌گر عمومی است، مجموعه‌ای از پارامترها را می‌توان به نحوی تعیین کرد که خروجی کنترل‌کننده فازی، u_f ، بتواند سیگنال کنترل ایده‌آل، U^* ، را با دقت دلخواه تقریب بزند.

مفهوم کنترل فازی، خود شامل پنج مرحله است؛ فازی سازی^۱، ارتباطات فازی^۲، استنتاج فازی^۳، تجمیع فازی^۴ و نافازی سازی^۵. همان‌طور که در ادامه نیز توضیح داده خواهد شد، پایگاه قوانین کنترل‌کننده فازی پیشنهادی به شکل زیر قابل طراحی است:

1 Fuzzification
2 Fuzzy-relation
3 Fuzzy-implication
4 Fuzzy-aggregation
5 Defuzzification

$$\left\{ \begin{array}{l} \text{اگر } (E_h \text{ معادل } \mu_h^1) \text{ و } (E_d \text{ معادل } \mu_d^1) \text{ یعنی } (u = C_1) \\ \vdots \\ \text{اگر } (E_h \text{ معادل } \mu_h^i) \text{ و } (E_d \text{ معادل } \mu_d^j) \text{ یعنی } (u = C_l) \\ \vdots \\ \text{اگر } (E_h \text{ معادل } \mu_h^{m1}) \text{ و } (E_d \text{ معادل } \mu_d^{m2}) \text{ یعنی } (u = C_m) \end{array} \right. \quad (12)$$

که در آن μ_h^i ، μ_d^i و $\forall i = 1, \dots, m1$ و $\forall j = 1, \dots, m2$ توابع عضویت ورودی اول و دوم هستند، که $E_h = H_d - H(x, y, z)$ و $E_d = \dot{H}_d - \dot{H}(x, y, z)$ است. توجه کنید که $H_d, H(x, y, z), \dot{H}_d$ و $\dot{H}(x, y, z)$ به ترتیب سطوح انرژی همپلتون مطلوب و اندازه گیری شده و مشتقات مرتبه اول آن ها هستند. $C_l \in \mathbb{R}, \forall l = 1, \dots, m$ ضرایب ثابت خروجی قوانین فازی هستند، که تالی نیز نامیده می شوند، و به صورت یک بردار $C \triangleq [C_1, \dots, C_m]^T$ نمایش داده می شوند. در حالیکه، $m = (m1 \times m2)$ تعداد قوانین فازی را نشان می دهد. از آن جا که در این پژوهش، فرض بر این است که H_d یک سطح ثابت است، در نتیجه، $\dot{H}_d = 0$ خواهد بود و لذا $E_d = -\dot{H}(x, y, z)$ است. بدون دور شدن از کلیت و براساس آزمون و خطا، $m1 = 5$ در نظر گرفته شده است. پایگاه قوانین ارائه شده در رابطه (12) را در شکل 1 نشان داده ایم.

$E_h \backslash E_d$	μ_h^1	μ_h^2	μ_h^3	μ_h^4	μ_h^5
μ_d^1	C^1	C^2	C^3	C^4	C^5
μ_d^2	C^6	C^7	C^8	C^9	C^{10}
μ_d^3	C^{11}	C^{12}	C^{13}	C^{14}	C^{15}
μ_d^4	C^{16}	C^{17}	C^{18}	C^{19}	C^{20}
μ_d^5	C^{21}	C^{22}	C^{23}	C^{24}	C^{25}

شکل 1: تقسیم بندی فضای ورودی

1.1.5. فازی سازی و توابع عضویت:

فازی سازی، که فرآیند تخصیص یک مقدار عضویت مشخص به هر متغیر ورودی است، معمولاً با تعریف توابع عضویت¹ (MF) انجام می شود. در این جا، برای افزایش فضای ورودی از توابع عضویت مثلثی استفاده می شود. برای ساده تر شدن کار، تعداد افزایش در فضای ورودی با توابع عضویت کامل و سازگار مشخص شده است. همچنین پارامترهای توابع عضویت فضای ورودی به عنوان

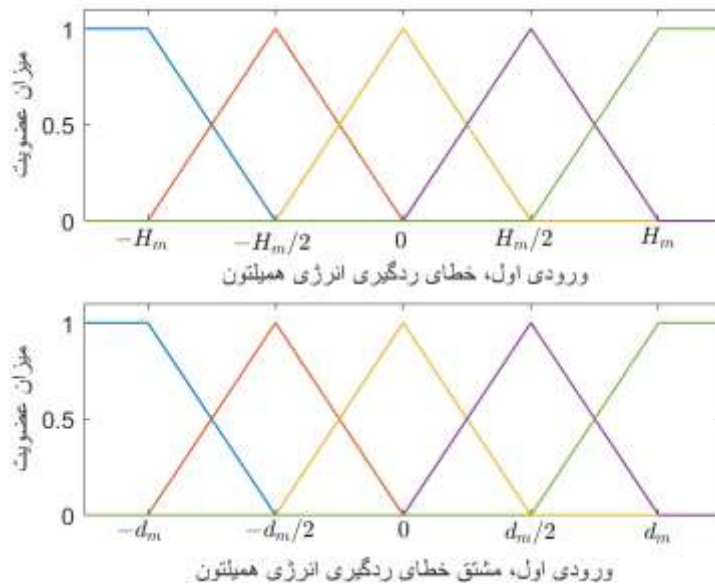
¹ Membership Function

پارامتر طراحی در نظر گرفته شده‌اند. پس نیازی به بهینه‌سازی در این بخش نیست. شکل ۲، افراز فضای ورودی، که از طریق توابع عضویت برای متغیرهای ورودی انجام شده را نشان می‌دهد. در حالی که H_m و d_m به ترتیب آستانه اشباع تابع انرژی همیلتون و مشتق اول آن هستند. این مقادیر آستانه با توجه به پارامترهای سطح انرژی مطلوب همیلتون و سیستم لورنز آشوبگون تعمیم‌یافته تحت کنترل، تعیین شده‌اند.

با در نظر گرفتن j امین تابع عضویت مثلثی مربوط به قانون l ام و متغیر ورودی i ام، معادله (۱۳) از طریق سه پارامتر که در سه رأس مثلث قرار دارند، شکل می‌گیرد؛ که در سمت چپ a_i^* ، در مرکز a_c^* ، و در سمت راست a_r^* قرار دارند.

$$\mu_i^l(E_i) = \begin{cases} 0 & E_i < a_i^* \\ (E_i - a_i^*) / (a_c^* - a_i^*) & a_i^* \leq E_i < a_c^* \\ (E_i - a_r^*) / (a_c^* - a_r^*) & a_c^* \leq E_i < a_r^* \\ 0 & a_i^* \leq E_i \end{cases} \quad (13)$$

که در آن E_i ورودی متغیر i ام است (بین $E_1 = E_h$ و $E_2 = E_d$).



شکل ۲. توابع عضویت‌های متغیرهای ورودی

۲.۱.۵. روابط فازی، عملگرها و بخش مقدم قوانین:

رابطه فازی، که به معنای به دست آوردن سطح آتش مقدم هر قانون فازی از طریق اعمال عملگرهای فازی بر عبارت‌های ورودی فازی می‌باشد، شامل انتخاب عملگرهاست. در این جا، «عملگر ضرب» به صورت زیر به کار گرفته می‌شود:

$$\widehat{w}_l = \prod_{i=1}^n \mu_i^l(E_i), \forall l = 1, \dots, m \quad (14)$$

۳.۱.۵. پیامد فازی و سطح آتش قوانین:

پیامد فازی به معنای اعمال مقدار مقدم (که سطح آتش شدن قانون نیز نامیده می‌شود) به قسمت تالی قانون است. برای انجام چنین کاری، در این پژوهش، از ضرب حسابی ساده استفاده شد.

$$D_l = C_l \widehat{w}_l, \forall l = 1, \dots, m \quad (15)$$

۴.۱.۵. تجمیع فازی و جمع تالی قوانین:

تجمیع فازی عبارت است از جمع کردن نتایج قوانین و تولید یک خروجی فازی. در این جا، تجمیع فازی به صورت یک جمع ساده پیاده‌سازی شده است.

$$A_f = \sum_{l=1}^m D_l = C_1 \widehat{w}_1 + \dots + C_m \widehat{w}_m \quad (16)$$

۵.۱.۵. نافازی‌سازی و محاسبات خروجی:

نافازی‌سازی یعنی تبدیل خروجی فازی به یک مقدار عددی مشخص. اما این مرحله در سیستم‌های فازی ممدانی^۱ یک فرآیند ساده نیست. که از یک موتور استنتاج فازی تاکاگی، سوگنو، کانگ با مرتبه فازی صفر استفاده شده است. که در آن بخش تالی هر قانون، یک عدد ثابت است و لذا فرآیند فازی‌سازی به یک محاسبه تعیین میانگین وزنی ساده تقلیل پیدا می‌کند.

$$u_f = \frac{\sum_{l=1}^m C_l \widehat{w}_l}{\sum_{l=1}^m \widehat{w}_l} = \sum_{l=1}^m C_l w_l = C^T W \quad (17)$$

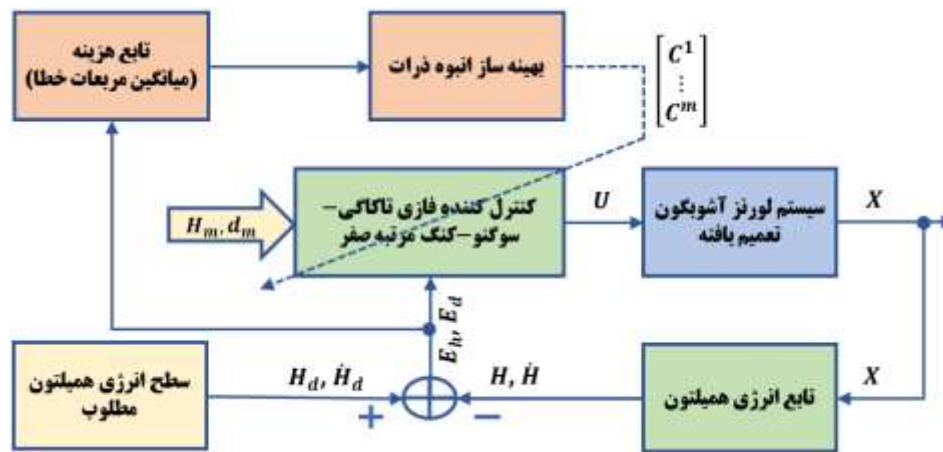
در حالی که، $W \triangleq [w_1, \dots, w_m]^T$ و $w_k \triangleq \widehat{w}_k / \sum_{l=1}^m \widehat{w}_l, \forall k = 1, \dots, m$ است.

¹ Mamdani

۲.۵. بهینه‌سازی کنترل‌کننده فازی:

طبق طرح کنترل فازی که در بالا به آن اشاره شد، فرآیند طراحی کنترل‌کننده، شامل تعیین آستانه‌ها (H_m و d_m) براساس اطلاعات تابع انرژی همیلتون مطلوب، تعیین پارامترهای سیستم، و بهینه‌سازی بردار ضرایب تالی (C) است. بدین منظور از یک الگوریتم بهینه‌سازی انبوه ذرات برای یافتن پارامترهای بهینه استفاده می‌شود. دیاگرام بهینه‌سازی کنترل‌کننده در شکل ۳ نشان داده شده است.

شکل ۳. دیاگرام بهینه‌سازی ضرایب کنترل‌کننده فازی به کمک الگوریتم انبوه ذرات

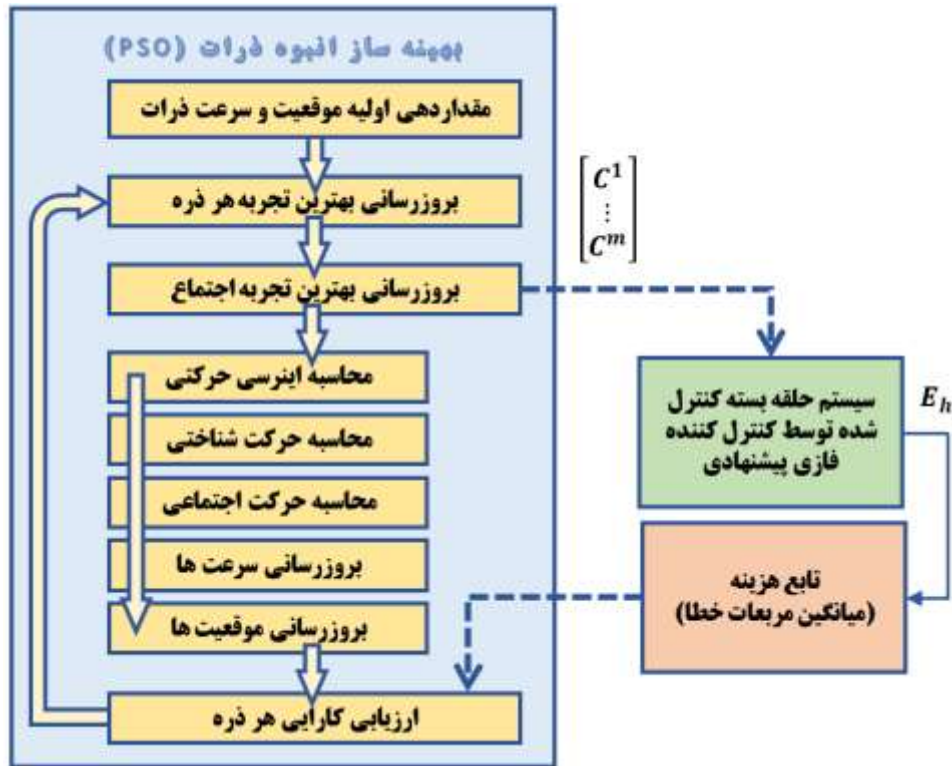


در نتیجه، مسأله بهینه‌سازی را می‌توان به صورت زیر فرموله کرد:

$$C^* = \arg \min (J = \frac{1}{2} \sum_{i=1}^N (H_d - H(i))^2) \quad (18)$$

که در آن، N نشان‌دهنده تعداد نمونه‌ها و J تابع هزینه است که به معنای میانگین مربعات خطای ردگیری مسیر سطح انرژی همیلتون مطلوب است. برای حل این مسأله کمینه‌سازی، از یک الگوریتم بهینه‌سازی انبوه ذرات استفاده می‌شود که در آن هر یک از راه حل‌های عددی ممکن برای مسأله بهینه‌سازی به صورت یک ذره نشان داده می‌شوند. ساختار الگوریتم بهینه‌سازی انبوه ذرات به طور خلاصه در شکل ۴ نشان داده شده است. که در آن، ابتدا یک مجموعه راه‌حل‌های تصادفی به نام ذرات تولید می‌شود، هر ذره دارای مشخصه موقعیت و سرعت می‌باشد، که به صورت تصادفی مقادیردهی اولیه شده‌اند. سپس، برای هر ذره بهترین تجربه محاسبه و براساس آن بهترین تجربه‌ی جمعی نیز محاسبه می‌شود. پس از آن سه مفهوم بوجود می‌آیند: ۱- حرکت دارای اینرسی که به نوعی سرعت قبلی حرکت ذره را حفظ می‌کند، ۲- حرکت شناختی که با توجه به گرایش به بهترین تجربه فردی شکل می‌گیرد، و ۳- حرکت اجتماعی که با توجه به بهترین تجربه کل جمع شکل گرفته است. در نهایت، مجموع این سه حرکت، بردار سرعت جدید هر ذره را به وجود می‌آورد، که با توجه به آن موقعیت جدید ذره در گام بعد تعیین می‌شود. با توجه به موقعیت جدید هر ذره،

کارایی آن در کنترل‌کننده مذکور و ایجاد خطای ردگیری حلقه بسته ارزیابی می‌شود. در نهایت، بهترین تجارب فردی و اجتماعی به‌روزرسانی می‌شوند.



شکل ۴. مراحل الگوریتم بهینه‌سازی انبوه ذرات

۳.۵. طراحی سیستم فازی سطح بالا برای تعیین بهره کنترل‌کننده فازی سطح پایین:

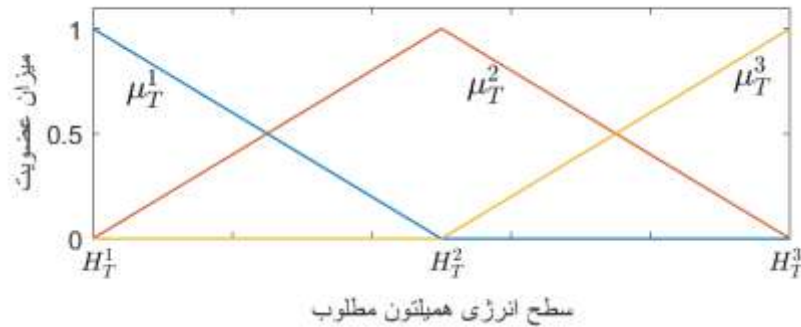
کنترل‌کننده فازی برای چند سطح از انرژی ثابت تخصیص داده شده است، اما سطح انرژی همیلتون مطلوب می‌تواند با توجه به سطوح تخصیص داده شده، متفاوت باشد. اینجا یک سیستم فازی سطح بالا پیشنهاد شده تا ضرایب تالی کنترل‌کننده فازی، C ، را به صورت تطبیقی با توجه به سطح انرژی همیلتون مطلوب تنظیم کند. در ابتدا، طبق آنچه در بخش قبل انجام شد، بهینه‌سازی کنترل‌کننده فازی مجموعه‌ای از جفت پارامترهای بهینه را که به صورت معادله زیر نمایش داده می‌شوند، تولید کرده است:

$$CPOP: H_T^i \rightarrow C^{*i}, \forall i = 1, \dots, n \quad (19)$$

که در آن، H_T^i معادل است با سطح انرژی همیلتون مطلوب i ام، که در فرآیند آموزش استفاده شده است، و C^{*i} معادل است با i^{th} پارامترهای نتیجه بهینه که برای H_T^i به دست آمده است. این جفت پارامترهای بهینه، به سادگی به عنوان جفت‌های مقدم-تالی، به منظور طراحی سیستم فازی سطح بالا در نظر گرفته می‌شود. در نتیجه، قوانین این سیستم فازی را می‌توان به صورت زیر نوشت:

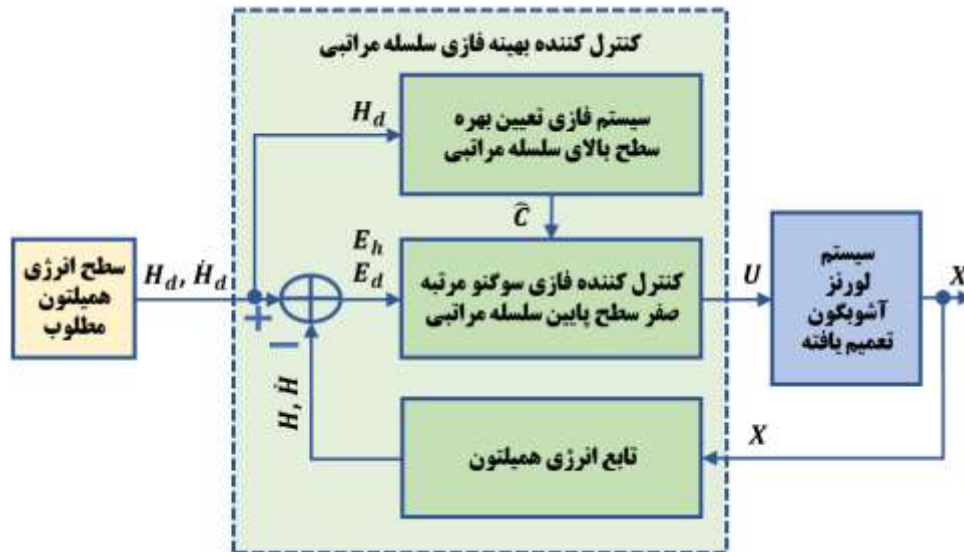
$$\text{if}(H_d \text{ is } \mu_T^i) \text{ then } (\hat{C} = C^*i) \quad (20)$$

همان‌طور که در شکل ۵ نشان داده شده، پارامترهای تالی کنترل‌کننده فازی است که توسط سیستم فازی سطح بالا پیشنهاد شده، و μ_T^i معادل تابع عضویت مثلثی i ام است که برای H_T^i طراحی شده است.



شکل ۵. تابع پیشنهادی برای سیستم فازی سطح بالا

دیگرام کنترل‌کننده بهینه فازی سلسله مراتبی پیشنهادی در شکل ۶ نشان داده شده است.

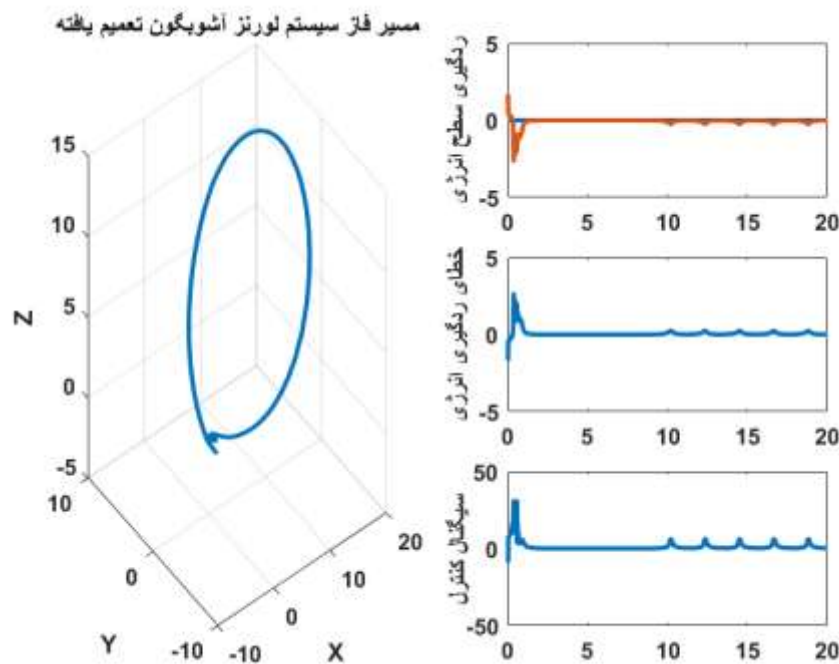


شکل ۶. دیگرام طرح کنترل فازی سلسله مراتبی پیشنهاد شده

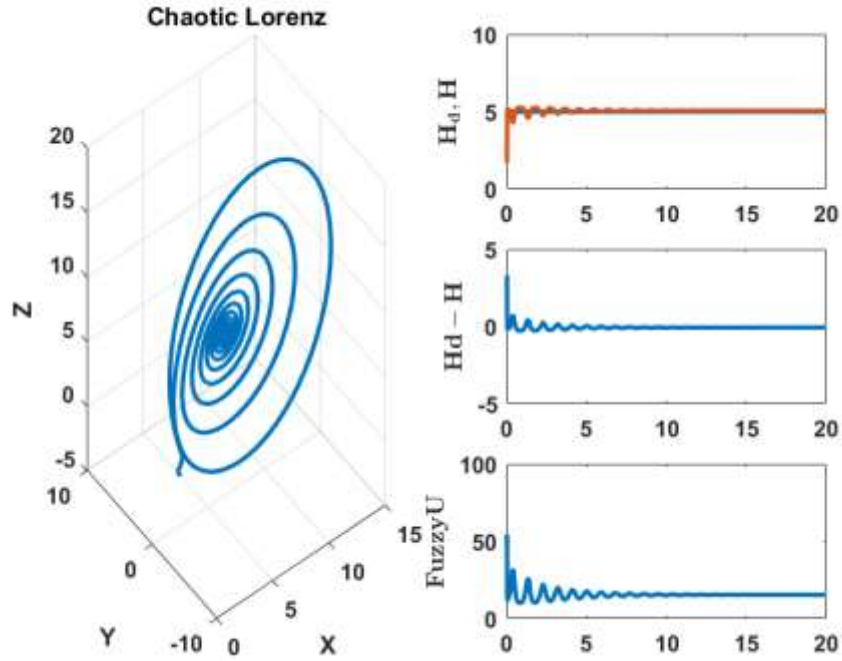
لازم به ذکر است، خروجی سیستم فازی سطح بالا که به صورت «ماتریس C» نشان داده شده، در حقیقت یک درونیابی فازی بین راهکارهای بهینه آموزش داده شده است. لذا، این راه‌حل‌ها در حقیقت راه‌حل‌های شبه‌بهینه برای ماتریس‌های تالی کنترل‌کننده فازی سطح پایین هستند. اما، در کاربردهای عملی به عنوان تقریب مناسب C^* بهینه در نظر گرفته می‌شوند.

۶. شبیه‌سازی و نتایج آن:

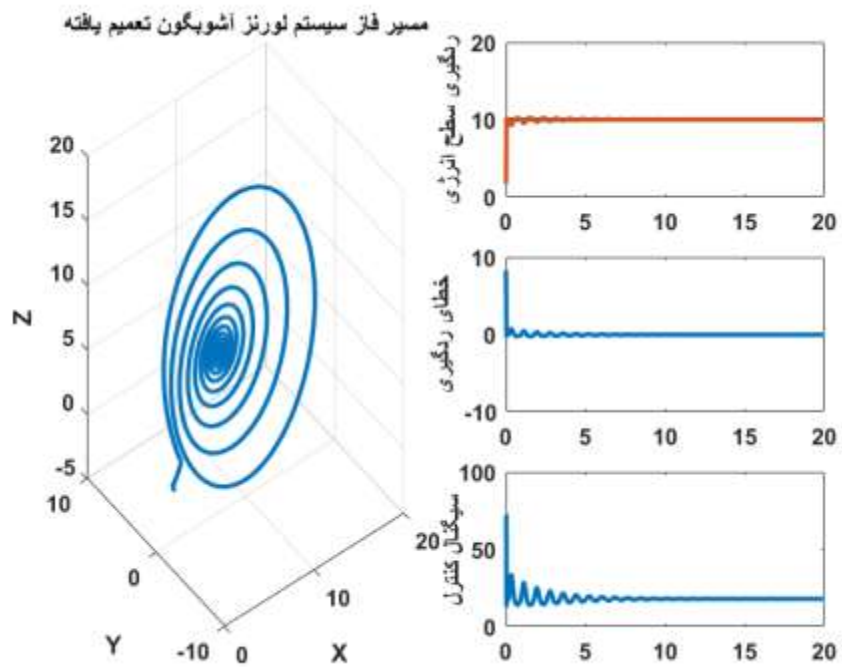
در این بخش، از کنترل‌کننده بهینه فازی سلسله مراتبی پیشنهادشده برای کنترل سیستم لورنز آشوبگون تعمیم‌یافته با پارامترهایی مانند $a = 2.98, b = -0.438, c = 6.8, d = 1$ استفاده می‌کنیم. این پارامترها می‌توانند شرایط اتلافی بودن را برآورده کنند، یعنی سیستم لورنز آشوبگون تعمیم‌یافته مذکور عملکرد آشوبی را نشان خواهد داد. برای سهولت بیشتر و بدون دورشدن از کلیت، شرایط اولیه سیستم روی $x(0) = 3.8, y(0) = 2.1, z(0) = -3.1$ تنظیم شده‌است. در نتیجه، انرژی همیلتون اولیه معادل است با $H(0) = \frac{1}{2}[x(0)^2 - \frac{a}{c}y(0)^2 + (b - \frac{a}{c})z(0)^2] = 2.0434$ ، و مشتق مرتبه اول آن معادل است با $\dot{H}(0) = \nabla H(0)^T f_d(x(0)) = -32.6780$. توجه داشته باشید که انرژی همیلتون وابسته به پارامترها و شرایط اولیه است. روند آموزش برای یک تعداد سطوح انرژی مطلوب دلخواه انتخابی، مثلاً $n = 3$ ، انجام می‌شود، به عنوان نمونه، در این پژوهش، از $H_T \in \{0, 5, 10\}$ استفاده شده‌است. نتایج آموزش و عملکرد ردگیری آن بعد از آموزش، برای سطوح H_T در شکل‌های ۷، ۸ و ۹ نشان داده شده‌است.



شکل ۷. کارایی ردگیری در $H_T = 0$ بعد از آموزش

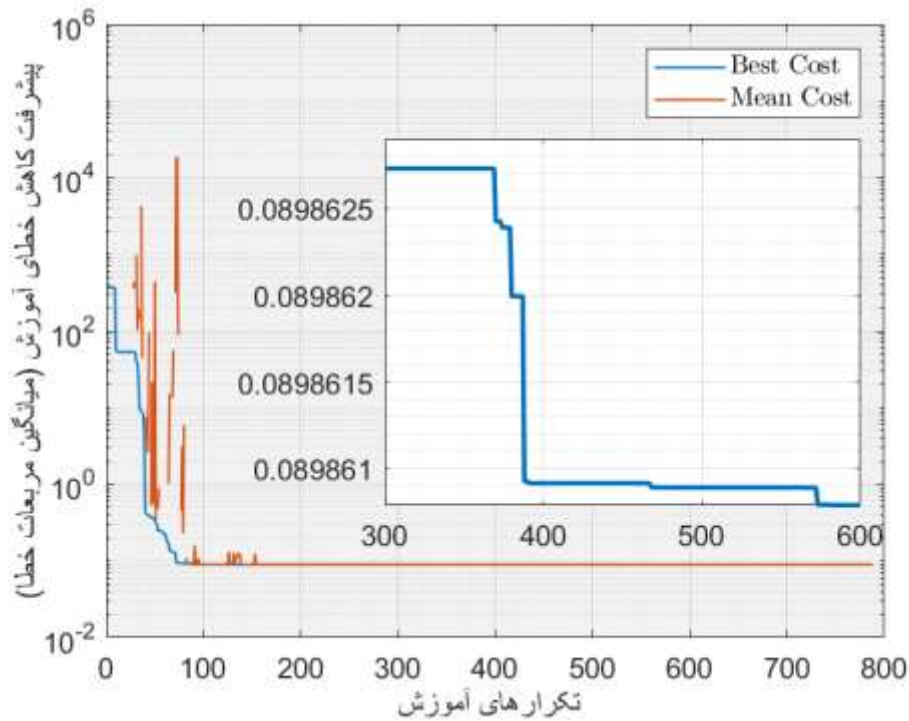


شکل ۸. کارایی ردگیری در $H_T = 5$ بعد از آموزش



شکل ۹. کارایی ردگیری در $H_T = 10$ بعد از آموزش

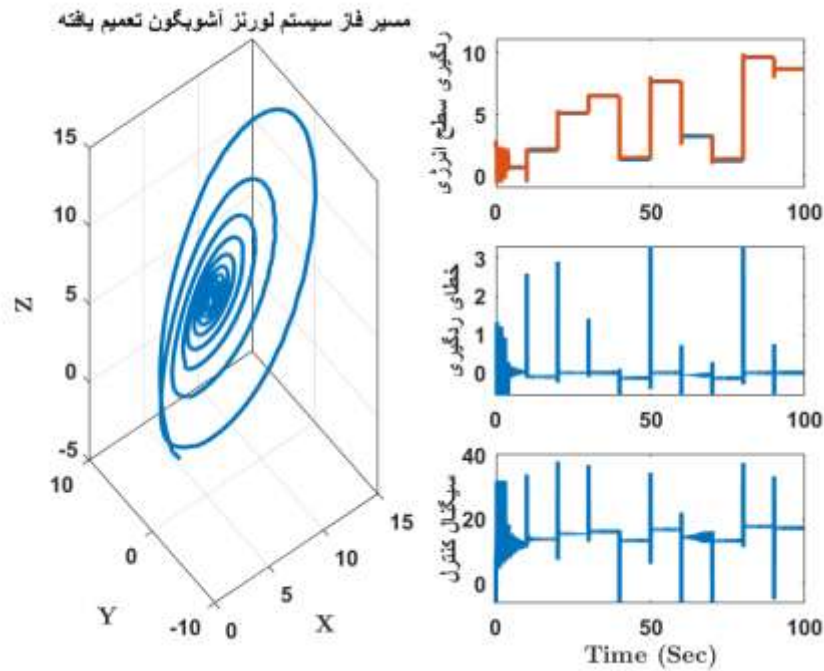
به علاوه، با استفاده از بهینه ساز معروف الگوریتم انبوه ذرات، به منظور کاهش خطای ردگیری انرژی همپلتون، پارامترهای کنترل کننده را تنظیم کرده ایم. مراحل پیشرفت کارایی کنترل کننده در طول گام های متوالی آموزش در شکل ۱۰ نشان داده شده است. برای بهتر دیده شدن، محور عمودی منحنی به صورت لگاریتمی رسم شده است، هم چنین، قسمتی بزرگ نمایی شده است تا روند پیشرفت گام های ۳۰۰ تا ۸۰۰ را با وضوح بیشتری نشان می دهد.



شکل ۱۰. پیشرفت روند آموزش

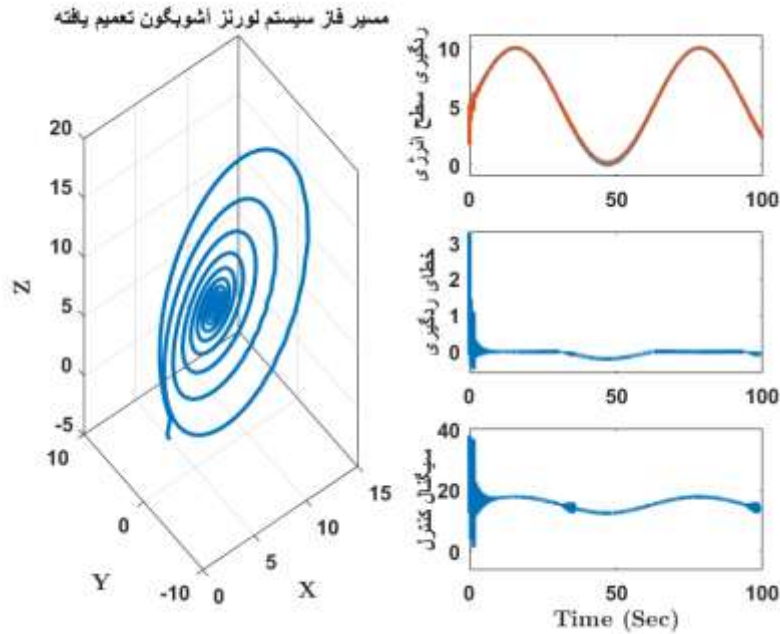
پس از فرآیند آموزش، می توان از کنترل کننده فازی برای کنترل سیستم لورنز آشوبگون تعمیم یافته استفاده کرد، اما از آن جا که آموزش برای تعداد معدودی سطح انرژی همپلتون مطلوب انجام شده، کنترل کننده برای استفاده در هر سطح انرژی مطلوب دلخواهی آماده نیست. در نتیجه، یک سیستم فازی سطح بالای جدید به صورت یک سیستم سلسله مراتبی ارائه شد، که با توجه به سطح انرژی همپلتون مطلوب و مجموعه پارامترهای بهینه به دست آمده از آموزش، پارامترهای کنترل کننده فازی سطح پایین را تنظیم می کند. این موضوع، در شکل ۶ به تفصیل نشان داده شده است.

در شبیه‌سازی‌های این پژوهش، دو رویکرد متفاوت برای سطح انرژی همیلتون مطلوب جهت ردگیری تعیین شده‌است. اول شیوه‌ای که وظیفه‌اش ردگیری سطح دلخواه ثابت است و دوم روندی که مسیر تغییر مداوم سطح انرژی همیلتون مطلوب را ردگیری می‌کند. کارکرد ردیابی کنترل‌کننده پیشنهادی برای رویکرد اول در شکل ۱۱ نشان داده شده‌است.



شکل ۱۱. کارایی ردگیری رویکرد اول، سطوح مطلوب متوالی، بعد از آموزش

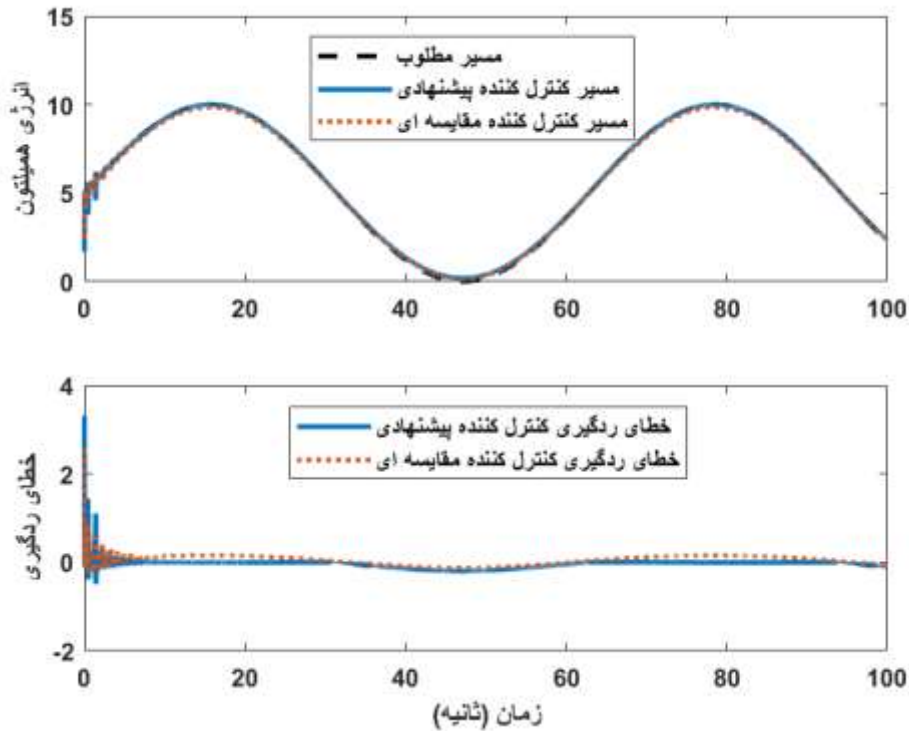
علاوه براین، در رویکرد دوم، توانایی کنترل‌کننده پیشنهادی از طریق عملکرد ردگیری یک سیگنال پیوسته، که در شکل ۱۲ نشان داده شده، مورد بررسی قرار می‌گیرد.



شکل ۱۲. کارایی ردگیری در رویکرد دوم، مسیر مطلوب پیوسته، بعد از آموزش

۷. تجزیه و تحلیل مقایسه‌ای:

برای توضیح عملکرد کنترل کننده پیشنهادی در مقایسه با روش کنترلی مشابه، یعنی کنترل کننده پس خورد ثابت مبتنی بر انرژی همیلتون، ارائه شده در مرجع [1]، شبیه سازی هایی انجام شده که نتایج آن ها در جدول ۱ و شکل ۱۳ ارائه شده است. قابل توجه است که رابطه کنترل کننده مقایسه ای به صورت $U = E_a + K_f E_a$ می باشد، که در آن، K_f پس خورد ایجاد شده از طریق سیستم فازی تاکاگی سوگنو کانگ است. در این جا، برای کنترل کننده مقایسه ای نیز، از بهینه سازی انبوه ذرات برای یافتن بهترین راه حل به منظور تعیین ضریب پس خورد، K_f ، استفاده می کنیم، به نحوی که خطای ردیابی انرژی تا حد ممکن کاهش پیدا کند.



شکل ۱۳. مقایسه عملکرد ردیابی

جدول ۱. معیارهای عددی در شبیه‌سازی‌های مقایسه‌ای انجام شده

میانگین مربعات خطا	میانگین قدرمطلق خطا	حداکثر قدرمطلق خطا		
۰/۰۱۰۷	۰/۰۵۲۱	۳/۳۱۲۱	روش پیشنهادی	
۰/۶۴۵۱	۰/۷۹۵۶	۳/۳۱۳۳	روش مقایسه شده	

همان‌طور که در جدول ۱ آمده، روش پیشنهادی در تمام معیارهای ارزیابی شده نسبت به رویکرد مقایسه‌شده دارای برتری است.

۸. بررسی سیستم حلقه بسته:

همان‌طور که در شکل ۶ نیز نشان داده شد، سیستم حلقه بسته شامل سیستم لورنز آشوبگون تعمیم‌یافته، تابع انرژی همپتون، و کنترل‌کننده فازی سطح پایین است. توجه داشته باشید که به دلیل ثابت بودن سطح انرژی مطلوب همپتون برای مدت طولانی، C نیز به عنوان خروجی سیستم فازی سطح بالا هم‌زمان ثابت می‌ماند و این یعنی سیستم فازی سطح بالا می‌تواند از تجزیه و تحلیل حلقه کنترل خارج شود.

توجه کنید که انرژی همپلتون یک تابع هموار است که می تواند برای هر سیستم دینامیکی خودمختاری تعریف شود. یک سیستم حلقه بسته خودمختار نامیده می شود، اگر سیگنال کنترل تنها تابعی از متغیرهای حالت باشد، لذا می توان آن را به شکل $\dot{X} = f(X, u(X)) = f(X)$ نمایش داد.

لم ۱: با در نظر گرفتن اینکه سطوح انرژی همپلتون مطلوب سطوحی ثابت و یا با تغییرات آهسته هستند (رجوع کنید به فرض ۱)، لذا سیگنال کنترل، u_f ، فقط تابعی از متغیرهای حالت است و در نتیجه، سیستم حلقه بسته یک سیستم دینامیکی خودمختار است. پس، با توجه به اینکه در سیستم حلقه بسته، سیگنال کنترل بر اساس تحلیل پایداری ردگیری انرژی همپلتون طراحی شده است، می توان سیگنال کنترل را به عنوان تابعی از انرژی همپلتون در نظر گرفت. در نتیجه سیستم حلقه بسته آشوبگون لورنز تعمیم یافته، معادله ۱۱، را می توان با یک درجه افزایش (به کمک سیگنال کنترل) به صورت یک سیستم دینامیکی خودگردان در نظر گرفت و معادلات دینامیکی آن را می توان به صورت زیر بازنویسی کرد:

$$\begin{cases} \dot{x} = -ax + ay - byz + u_f \\ \dot{y} = cx - y - xz \\ \dot{z} = -dz + xy \\ \dot{u}_f = \Gamma(x, y, z)u_f \end{cases} \quad (21)$$

در حالی که u_f ، که با کنترل کننده فازی به دست آمده، در معادله (۱۷) توضیح داده شده و $\Gamma(x, y, z)$ یک تابع هموار روی متغیرهای حالت است.

اثبات: مشتق مرتبه اول سیگنال کنترل در پیوست A محاسبه شده و ثابت شده است که معادله به دست آمده را می توان به صورت ضرب سیگنال کنترل و یک تابع هموار بر متغیرهای حالت، $\Gamma(x, y, z)$ ، بازنویسی کرد، که در معادله A. 13 معرفی شده است.

۱.۸. انرژی همپلتون سیستم حلقه بسته:

خطای ردیابی سطح انرژی همپلتون مطلوب، E_H ، آخرین خروجی سیستم حلقه بسته سیستم لورنز آشوبگون تعمیم یافته است. این جا، خطای ردیابی تابع انرژی همپلتون حلقه بسته^۱ (CLHEF) مفهومی معنادار است. در نتیجه، تابع انرژی همپلتون سیستم حلقه بسته، معادله (۲۱)، بر اساس قضایای هلمهولتز و لیوویل تعریف می شود. میدان های برداری پایستار و اتلافی به صورت زیر پیشنهاد می شوند. توجه کنید که این میدان ها و تابع انرژی همپلتون مربوطه منحصر به فرد نیستند.

¹ Close Loop Hamilton Energy Function

$$f_c(X) = \begin{pmatrix} ay - byz + u_f \\ cx - xz \\ xy \\ -x \end{pmatrix}, f_d(X) = \begin{pmatrix} -az \\ -y \\ -dz \\ \Gamma u_f + x \end{pmatrix} \quad (22)$$

طبق معادله ۲۲، بردار گرادیان تابع انرژی همیلتون حلقه بسته به روش زیر به دست می‌آید:

$$\nabla H_{cl}^T = \left[x, -\frac{a}{c}y, \left(b - \frac{a}{c}\right)z, u_f \right] \quad (23)$$

در نتیجه،

$$H_{cl} = \frac{1}{2} \left(x^2 - \frac{a}{c}y^2 + \left(b - \frac{a}{c}\right)z^2 + u_f^2 \right) \quad (24)$$

و مشتق مرتبه اول آن معادل است با:

$$\begin{aligned} \dot{H}_{cl} &= \nabla H_{cl}^T f_d = \\ & -ax^2 + \frac{a}{c}y^2 - d \left(b - \frac{a}{c}\right)z^2 + \Gamma u_f^2 + x u_f \end{aligned} \quad (25)$$

تابع انرژی همیلتون حلقه بسته‌ای که در معادله ۲۴ داریم، تابع انرژی همیلتون کل سیستم حلقه بسته در حضور کنترل‌کننده فازی پیشنهادی است.

۹. نتیجه‌گیری:

هدف اصلی این مقاله، تبدیل آشوب به آشوب است. یعنی میل کردن دینامیک یک سیستم با آشوب موجود (نامطلوب) به سمت دینامیک سیستم با آشوب مطلوب مورد بررسی قرار گرفته است. مفهوم دینامیک به معنای الگوی جاذب است. با توجه به اینکه در سیستم‌های آشوبگون با تغییر شرایط اولیه رفتار سیستم تغییر می‌کند و بی‌نهایت مسیر مطلوب بوجود می‌آید که ممکن است مسیر مطلوب مورد نظر در این میان وجود نداشته باشد از این رو، در چنین سیستم‌هایی نمی‌توان مسیر مطلوب^۱ تعریف کرد، در این کار پیشنهاد شده است که دینامیک مطلوب^۲ تعریف شود. به تعبیر دیگر دینامیک مطلوب در الگوی جاذب در نظر گرفته شده است، که معرف نحوه تغییرات انرژی درونی این سیستم‌ها است، یک کاندید مناسب برای نمایش دینامیک، انرژی است و برای توصیف کمیت انرژی، یکی از رویکردهای شناخته شده استفاده از تابع انرژی همیلتون است.

¹ desired trajectory

² desired dynamic

در این مقاله، مدلی از کنترل‌کننده بهینه فازی سلسله مراتبی پیشنهاد شد که برای کنترل انرژی همپلتون سیستم لورنز آشوبگون تعمیم‌یافته با جاذب‌های مخفی مناسب است. کنترل‌کننده فازی، که به کمک یک الگوریتم انبوه ذرات بهینه شد، برای کنترل سیستم به منظور ردگیری سطح مطلوب انرژی همپلتون استفاده شد. سیستم فازی سطح بالا نیز برای تنظیم پارامترهای کنترل‌کننده فازی باتوجه به مقدار انرژی مطلوب، به کار گرفته شد. از مزایای قابل توجه این طرح پیشنهادی، استفاده از الگوریتم‌های بهینه‌سازی آفلاین در کنترل‌کننده‌های فازی به صورت برخط و زمان واقعی است. برای تحلیل عملکرد طرح پیشنهادی، از آن به منظور کنترل سطح انرژی همپلتون در یک سیستم لورنز آشوبگون تعمیم‌یافته استفاده کردیم. این شبیه‌سازی‌ها عملکرد صحیح کنترل‌کننده سلسله مراتبی پیشنهادی را تأیید کردند. علاوه بر این، سیگنال کنترل فازی پیشنهادی فرموله و بعد اولین مشتق آن محاسبه شد. همچنین، پس از طراحی کنترل‌کننده فازی، سیستم حلقه بسته به عنوان سیستم دینامیکی خودمختار استخراج و تابع انرژی همپلتون دوباره برای سیستم حلقه بسته محاسبه شد.

مهم‌ترین وجه تمایز این پژوهش با دیگر تلاش‌های پژوهشی در این است که در هیچ یک از کارهایی که تاکنون در مورد کنترل سیستم‌های آشوبگون انجام شده است. کنترل دینامیک یا کنترل الگوی جاذب^۱ مطرح نشده است. و از این منظر به سیستم‌های آشوبگون توجهی نشده است. لذا مقایسه مستقیمی با کارهای دیگر نمی‌توان داشت. تنها می‌توان این کار را با مرجع [1] که دارای رویکرد مشابهی است، مقایسه نمود. که در بخش ۷ به این موضوع پرداخته شده است.

در مطالعات آتی، بهینه‌سازی تطبیقی آنلاین مبتنی بر پایداری برای کنترل‌کننده پیشنهادی بدون استفاده از الگوریتم‌های بهینه‌سازی مبتنی بر جمعیت بررسی خواهد شد. همین‌طور، نقش سیستم فازی مرتبه بالا در طرح سلسله مراتبی سیستم‌های فازی در انرژی همپلتون و پایداری سیستم مورد مطالعه قرار خواهند گرفت.

مراجع

- [1] A. Reza Ahrabi and H. R. Kobravi, "A chaos to chaos control approach for controlling the chaotic dynamical systems using Hamilton energy feedback and fuzzy-logic system," *Chaos*, vol. 29, no. 7, 2019, doi: 10.1063/1.5087876.
- [2] J. Ma, F. Wu, W. Jin, P. Zhou, and T. Hayat, "Calculation of Hamilton energy and control of dynamical systems with different types of attractors," *Chaos*, vol. 27, no. 5, 2017, doi: 10.1063/1.4983469.
- [3] C. Sarasola, F. J. Torrealdea, A. d'Anjou, A. Moujahid, and M. Graña, "Energy balance in feedback synchronization of chaotic systems," *Phys. Rev. E - Stat. Physics, Plasmas, Fluids, Relat. Interdiscip. Top.*, vol. 69, no. 1, p. 12, 2004, doi: 10.1103/PhysRevE.69.011606.
- [4] H. R. Kobravi and A. Erfanian, "A decentralized adaptive robust method for chaos control,"

¹control of attractor pattern

- Chaos, vol. 19, no. 3, 2009, doi: 10.1063/1.3183806.
- [5] S. Lashkari, A. Sheikhan, M. R. Hashemi Golpayegan, A. Moghimi, and H. R. Kobravi, "Topological feature extraction of nonlinear signals and trajectories and its application in EEG signals classification," *Turkish J. Electr. Eng. Comput. Sci.*, vol. 26, no. 3, pp. 1329–1342, 2018, doi: 10.3906/elk-1708-59.
- [6] K. Lehnertz and C. E. Elger, "Spatio-temporal dynamics of the primary epileptogenic area in temporal lobe epilepsy characterized by neuronal complexity loss," *Electroencephalogr. Clin. Neurophysiol.*, vol. 95, no. 2, pp. 108–117, 1995, doi: 10.1016/0013-4694(95)00071-6.
- [7] K. Lehnertz and C. E. Elger, "Can epileptic seizures be predicted? evidence from nonlinear time series analysis of brain electrical activity," *Phys. Rev. Lett.*, vol. 80, no. 22, pp. 5019–5022, 1998, doi: 10.1103/PhysRevLett.80.5019.
- [8] E. E. N. Macau and C. Grebogi, "Controlling Chaos," *Handb. Chaos Control Second Ed.*, vol. 64, pp. 1–28, 2008, doi: 10.1002/9783527622313.ch1.
- [9] A. S. de Paula and M. A. Savi, "A multiparameter chaos control method based on OGY approach," *Chaos, Solitons and Fractals*, vol. 40, no. 3, pp. 1376–1390, 2009, doi: 10.1016/j.chaos.2007.09.056.
- [10] G. Chen and A. L. Fradkov, "Chaos Control and Synchronization Bibliographies (1987-2001)," available via WWW <http://www.ee.cityu.edu.hk/~gchen/chaos-papers.html>, 2022.
- [11] J. Lu, R. Wei, X. Wang, and Z. Wang, "Backstepping control of discrete-time chaotic systems with application to the Henon system," *IEEE Trans. Circuits Syst. I Fundam. Theory Appl.*, vol. 48, no. 11, pp. 1359–1363, 2001, doi: 10.1109/81.964429.
- [12] S. Yamamoto, T. Hino, and T. Ushio, "Dynamic delayed feedback controllers for chaotic discrete-time systems," *IEEE Trans. Circuits Syst. I Fundam. Theory Appl.*, vol. 48, no. 6, pp. 785–789, 2001.
- [13] X. Yu, G. Chen, Y. Xia, Y. Song, and Z. Cao, "An invariant-manifold-based method for chaos control," *IEEE Trans. Circuits Syst. I Fundam. Theory Appl.*, vol. 48, no. 8, pp. 930–937, 2001, doi: 10.1109/81.940183.
- [14] S. C. Sinha, J. T. Henrichs, and B. Ravindra, "A general approach in the design of active controllers for nonlinear systems exhibiting chaos," *Int. J. Bifurcat. Chaos*, vol. 10, no. 1, pp. 165–178, 2000, doi: 10.1142/S0218127400000104.
- [15] H. Richter and K. J. Reinschke, "Local control of chaotic systems - A Lyapunov approach," *Int. J. Bifurcat. Chaos*, vol. 8, no. 7, pp. 1565–1573, 1998, doi: 10.1142/S0218127498001212.
- [16] A. L. Fradkov and A. Y. Pogromsky, *Introduction to Control of Oscillations and Chaos*, vol. 35. World Scientific, 1998.
- [17] Z. GALIAS, "New Method for Stabilization of Unstable Periodic Orbits in Chaotic

- Systems,” *Int. J. Bifurc. Chaos*, vol. 05, no. 01, pp. 281–295, 1995, doi: 10.1142/s0218127495000247.
- [18] C. C. Fuh and P. C. Tung, “Controlling chaos using differential geometric method,” *Phys. Rev. Lett.*, vol. 75, no. 16, pp. 2952–2955, 1995, doi: 10.1103/PhysRevLett.75.2952.
- [19] J. Alvarez-Gallegos, “Nonlinear regulation of a Lorenz system by feedback linearization techniques,” *Dyn. Control*, vol. 4, no. 3, pp. 277–298, 1994, doi: 10.1007/BF01985075.
- [20] M. J. Ogorzalek, “Taming chaos. II. control,” *IEEE Trans. Circuits Syst. I Fundam. Theory Appl.*, vol. 40, no. 10, pp. 700–706, 1993.
- [21] G. CHEN and X. DONG, “From Chaos To Order — Perspectives and Methodologies in Controlling Chaotic Nonlinear Dynamical Systems,” *Int. J. Bifurc. Chaos*, vol. 03, no. 06, pp. 1363–1409, 1993, doi: 10.1142/s0218127493001112.
- [22] K. Pyragas, “Continuous control of chaos by self-controlling feedback,” *Phys. Lett. A*, vol. 170, no. 6, pp. 421–428, 1992, doi: 10.1016/0375-9601(92)90745-8.
- [23] T. L. Vincent and J. Yu, “Control of a chaotic system,” *Dyn. Control*, vol. 1, no. 1, pp. 35–52, 1991, doi: 10.1007/BF02169423.
- [24] X. Chen, Guanrong and Dong, *From Chaos to Order Methodologies, Perspectives and Applications*, vol. 24. World Scientific, 1998.
- [25] O. Calvo and J. H. E. Cartwright, “Fuzzy control of chaos,” *Int. J. Bifurcat. Chaos*, vol. 8, no. 8, pp. 1743–1747, 1998, doi: 10.1142/S0218127498001443.
- [26] N. Vasegh and F. Khellat, “Takagi-Sugeno fuzzy modeling and chaos control of partial differential systems,” *Chaos*, vol. 23, no. 4, 2013, doi: 10.1063/1.4823993.
- [27] A. M. Harb and I. A. Smadi, “On fuzzy control of chaotic systems,” *JVC/Journal Vib. Control*, vol. 10, no. 7, pp. 979–993, 2004, doi: 10.1177/1077546304041541.
- [28] A. Sarani Ali Abadi and S. Balochian, “Chaos control of the power system via sliding mode based on fuzzy supervisor,” *Int. J. Intell. Comput. Cybern.*, vol. 10, no. 1, pp. 68–79, 2017, doi: 10.1108/IJICC-09-2016-0034.
- [29] N. Vasegh and V. J. Majd, “Fuzzy model-based adaptive synchronization of time-delayed chaotic systems,” *Chaos, Solitons & Fractals*, vol. 40, no. 3, pp. 1484–1492, 2009.
- [30] H. O. Wang and K. Tanaka, “Fuzzy modeling and control of chaotic systems,” in *Studies in Fuzziness and Soft Computing*, vol. 187, Springer, 2006, pp. 45–80.
- [31] D. Chen, W. Zhao, J. C. Sprott, and X. Ma, “Application of Takagi-Sugeno fuzzy model to a class of chaotic synchronization and anti-synchronization,” *Nonlinear Dyn.*, vol. 73, no. 3, pp. 1495–1505, 2013, doi: 10.1007/s11071-013-0880-1.
- [32] Z. Li, *Fuzzy Chaotic Systems*. Springer, 2006.
- [33] D. Q. Li, “Hybrid TS fuzzy modelling and simulation for chaotic Lorenz system,” *Chinese*

- Phys., vol. 15, no. 11, pp. 2541–2548, 2006, doi: 10.1088/1009-1963/15/11/014.
- [34] M. Hamdy, M. Magdy, and S. Helmy, “Control and synchronization for two Chua systems based on intuitionistic fuzzy control scheme: A comparative study,” *Trans. Inst. Meas. Control*, vol. 43, no. 7, pp. 1650–1667, 2021, doi: 10.1177/0142331220981425.
- [35] A. S. Koshiyama, T. Escovedo, M. M. B. R. Vellasco, and R. Tanscheit, “GPFIS-Control: A fuzzy Genetic model for Control tasks,” in *IEEE International Conference on Fuzzy Systems*, 2014, pp. 1953–1959, doi: 10.1109/FUZZ-IEEE.2014.6891733.
- [36] M. Ghaemi, M. R. Akbarzadeh-T., and M. Jalaeian-F., “Optimal design of adaptive interval type-2 fuzzy sliding mode control using Genetic algorithm,” in *Proceedings - 2011 2nd International Conference on Control, Instrumentation and Automation, ICCIA 2011*, 2011, pp. 626–631, doi: 10.1109/ICCIAutom.2011.6356731.
- [37] A. Xin-lei and Z. Li, “Dynamics analysis and Hamilton energy control of a generalized Lorenz system with hidden attractor,” *Nonlinear Dyn.*, vol. 94, no. 4, pp. 2995–3010, 2018, doi: 10.1007/s11071-018-4539-9.
- [38] M. I. Rabinovich, “Stochastic self-oscillations and turbulence,” *Uspekhi Fiz. Nauk*, vol. 125, pp. 123–168, May 1978.
- [39] M. F. Danca and N. Kuznetsov, “Hidden chaotic sets in a Hopfield neural system,” *Chaos, Solitons and Fractals*, vol. 103, pp. 144–150, 2017, doi: 10.1016/j.chaos.2017.06.002.
- [40] D. H. Kobe, “Helmholtz’s theorem revisited,” *Am. J. Phys.*, vol. 54, no. 6, pp. 552–554, 1986, doi: 10.1119/1.14562.
- [41] X. L. Zhou, “On Helmholtz’s theorem and its interpretations,” *J. Electromagn. Waves Appl.*, vol. 21, no. 4, pp. 471–483, 2007, doi: 10.1163/156939307779367314.

پیوست الف (مشتق سیگنال کنترل):

در اینجا مشتق مرتبه اول سیگنال کنترل محاسبه می‌شود و نشان داده می‌شود که معادله به دست آمده ضرب سیگنال کنترل در یک تابع نرم بر روی متغیرهای حالت است. مشتق زمانی سیگنال کنترل، معادله (۱۷)، است به صورت زیر بدست آمده است:

$$\dot{u}_f = \frac{d}{dt}u_f = C^T \frac{d}{dt}W = C^T \left[\frac{d}{dt}w_1, \dots, \frac{d}{dt}w_m \right]^T, \forall k = 1, \dots, m \quad (A.1)$$

که در آن:

$$\frac{d}{dt} \omega_k = \frac{\left(\frac{d}{dt} \hat{\omega}_k\right) \left(\sum_{l=1}^m \hat{\omega}_l\right) - \hat{\omega}_k \left(\sum_{l=1}^m \frac{d}{dt} \hat{\omega}_l\right)}{\left(\sum_{l=1}^m \hat{\omega}_l\right)^2} \quad (A.2)$$

$$= \frac{\frac{d}{dt} \hat{\omega}_k}{\sum_{l=1}^m \hat{\omega}_l} - \omega_k \frac{\sum_{l=1}^m \frac{d}{dt} \hat{\omega}_l}{\sum_{l=1}^m \hat{\omega}_l} = \omega_k \left(\frac{\frac{d}{dt} \hat{\omega}_k}{\hat{\omega}_k} - \frac{\sum_{l=1}^m \frac{d}{dt} \hat{\omega}_l}{\sum_{l=1}^m \hat{\omega}_l} \right)$$

که در آن، بر اساس معادله (۱۴) داریم:

$$\frac{d}{dt} \hat{\omega}_k = \left(\sum_{j=1}^n \frac{d}{dt} u_j^k(E_j) \right) \left(\prod_{i=1, i \neq j}^n u_i^k(E_i) \right) \quad (A.3)$$

که در آن، مشتق تابع عضویت استفاده شده که در معادله (۱۳) را می توان به صورت زیر بدست آورد:

$$\frac{d}{dt} \mu_j^k(E_j) = Y_{k,j}^* \frac{d}{dt} (E_j) \quad (A.4)$$

که در آن،

$$Y^* \triangleq \begin{cases} 0 & E_j < a_l^* \\ 1/(a_c^* - a_l^x) & a_l^* \leq E_j < a_c^* \\ 1/(a_c^* - a_r^*) & a_c^* \leq E_j < a_r^* \\ 0 & a_r^* \leq E_j \end{cases} \quad (A.5)$$

که در آن، ورودی j ام کنترل کننده فازی است که به ترتیب، خطای ردیابی DHEL، $E_1 = E_h = H_d - H$ و مشتق مرتبه اول آن، $E_2 = E_d = \dot{H}_d - \dot{H}$ است.

$$\frac{d}{dt} E_h = -\dot{H} = ax^2 - \frac{a}{c} y^2 + d \left(b - \frac{a}{c} \right) z^2 \quad (A.6)$$

$$\begin{aligned} \frac{d}{dt} E_d = -\dot{H} = & 2a^2 x^2 + 2 \frac{a}{c} y^2 - 2 \left(b - \frac{a}{c} \right) d^2 z^2 - 2a(1-a)xy \\ & - 2 \left(ab - \frac{a}{c} - bd \frac{a}{c} d \right) xyz \end{aligned} \quad (A.7)$$

بر اساس معادله (۱۴)، $\hat{\omega}_k = \mu_1^k(E_h) \mu_2^k(E_d)$ ، بنابراین، با در نظر گرفتن معادله (A.3) داریم:

$$\begin{aligned}
\frac{d}{dt} = \hat{w}_k &= \left(\frac{d}{dt} \mu_1^k(E_h) \right) \mu_2^k(E_d) + \mu_1^k(E_h) \left(\frac{d}{dt} \mu_2^k(E_d) \right) \\
&= -Y_{k,1}^* \dot{H} \mu_2^k(E_d) - Y_{k,2}^* \dot{H} \mu_1^k(E_h) \\
&= -\hat{w}_k \left(\frac{Y_{k,1}^*}{\mu_1^k(E_h)} \dot{H} + \frac{Y_{k,2}^*}{\mu_2^k(E_d)} \dot{H} \right) \\
&= -\hat{w}_k (\psi_{k,1} \dot{H} + \psi_{k,2} \dot{H})
\end{aligned} \tag{A.8}$$

جایی که،

$$\psi_{k,i} \triangleq \frac{Y_{k,i}^*}{\mu_i^k(E_i)} \tag{A.9}$$

با جایگزین کردن (A.8) در (A.2)، رابطه زیر حاصل می‌شود:

$$\frac{d}{dt} w_k = w_k \left(-\psi_{k,1} \dot{H} - \psi_{k,2} \dot{H} + \frac{\sum_{l=1}^m (\hat{w}_l (\psi_{l,1} \dot{H} + \psi_{l,2} \dot{H}))}{\sum_{l=1}^m \hat{w}_l} \right) \tag{A.10}$$

با جایگزین کردن (A.10) در (A.1) داریم:

$$\begin{aligned}
\frac{d}{dt} u_f &= \sum_{l=1}^m \left(C_l \frac{d}{dt} w_l \right) \\
&= \sum_{l=1}^m \left(C_l w_l \left((-\psi_{l,1} \dot{H} - \psi_{l,2} \dot{H}) + \frac{\sum_{l=1}^m (C_l w_l (\psi_{l,1} \dot{H} + \psi_{l,2} \dot{H}))}{\sum_{l=1}^m (C_l w_l)} \right) \right) \\
&= \sum_{l=1}^m (C_l w_l) \left(\sum_{k=1}^m \left(C_k w_k (-\psi_{k,1} \dot{H} - \psi_{k,2} \dot{H}) \right) \right. \\
&\quad \left. + \frac{\sum_{l=1}^m (C_l w_l (\psi_{l,1} \dot{H} + \psi_{l,2} \dot{H}))}{\sum_{l=1}^m (C_l w_l)} \right) / \sum_{l=1}^m (C_l w_l)
\end{aligned} \tag{A.11}$$

که با در نظر گرفتن معادله (۱۷) می‌توان آن را به صورت زیر بازنویسی کرد:

$$\dot{u}_f = u_f \left(\sum_{k=1}^m C_k w_k (-\psi_{l,1} \dot{H} - \psi_{l,2} \ddot{H}) + \frac{\sum_{l=1}^m (\hat{w}_l (\psi_{l,1} \dot{H} + \psi_{l,2} \ddot{H}))}{\sum_{l=1}^m \hat{w}_l} \right) / \sum_{l=1}^m (C_l w_l) \quad (A.12)$$

که در آن تابع نرم $\Gamma(x, y, z)$ به صورت زیر تعریف شده است:

$$\Gamma(x, y, z) \triangleq \frac{\left(\sum_{k=1}^m C_k w_k (-\psi_{l,1} \dot{H} - \psi_{l,2} \ddot{H}) - \frac{\sum_{l=1}^m \hat{w}_l ((\psi_{l,1} \dot{H} + \psi_{l,2} \ddot{H}))}{\sum_{l=1}^m \hat{w}_l} \right)}{\sum_{l=1}^m (C_l w_l)} \quad (A.13)$$

که در آن (A.12) جایگزین شده است:

$$\dot{u}_f = \Gamma(x, y, z) u_f \quad (A.14)$$